

08
© 1992 г.АКУСТОЭЛЕКТРООПТИЧЕСКОЕ ВЗАИМОДЕЙСТВИЕ В КРИСТАЛЛАХ С
ЭЛЕКТРОИНДУЦИРОВАННОЙ НЕОДНОРОДНОСТЬЮ*И. Н. Кушнарев, С. Н. Шарангович*

Рассмотрена задача о брэгговском акустоэлектрооптическом взаимодействии (АЭОВ) слабо-расходящихся световых пучков в неоднородных электрическом и акустическом полях в пьезоэлектрических кристаллах. Получены самосогласованные решения уравнений связанных волн в замкнутой форме в виде суммы произведений парциальных передаточных функций линейно-неоднородных слоев. Приведены результаты численных расчетов передаточных функций АЭОВ для линейно-неоднородного электрического поля. Показана возможность комплексного улучшения передаточных и энергетических характеристик АЭОВ.

Введение

В последнее время акустоэлектрооптическое взаимодействие (АЭОВ), основанное на явлении дифракции света на звуке в условиях воздействия внешних или внутренних по отношению к кристаллам электрических полей, является предметом интенсивных теоретических и экспериментальных исследований [1–9]. В частности, показано, что АЭОВ позволяет расширить полосу частот дефлекторов [1, 2], увеличить быстродействие модуляторов [2], осуществить обработку сигналов по двум информационным каналам [2, 4], поляризационную и частотную модуляцию светового излучения [5, 6, 8, 9], создать гибридные АЭО устройства для оптических вычислительных систем [3, 4].

В теоретическом отношении к настоящему времени достаточно подробно исследовано АЭОВ в электрическом и акустическом полях с однородными амплитудными распределениями [1, 2, 4–9]. Используемая в [3] модель АЭОВ световых волн в неоднородных электрических и акустических полях ограничена приближениями плоских волн и слабым взаимодействием. В этих же приближениях выполнены исследования АОВ в оптически неоднородных анизотропных средах [10]. Однако потребности практики обусловливают необходимость построения и исследования неоднородной модели АЭОВ, допускающей пространственную неоднородность взаимодействующих полей и произвольную эффективность дифракции.

Цель данной работы состоит в построении теоретической модели брэгговского АЭОВ световых пучков в затухающем ультразвуковом и неоднородном электрическом полях, а также изучение ее особенностей в условиях сильного АЭОВ.

1. Общие соотношения и постановка задачи

Рассмотрим брэгговское акустооптическое взаимодействие световых пучков в поле монохроматического звукового пучка $U(r, t)$, распространяющегося в кристаллической среде, обладающей затуханием упругих волн, линейным электрооптическим эффектом и помещенной во внешнее пространственно-неоднородное электрическое поле $E_e(r) = e_e E_e(r)$, где e_e — единичный вектор, характеризующий ориентацию, а $E_e(r)$ — распределение напряженности электрического поля, со-

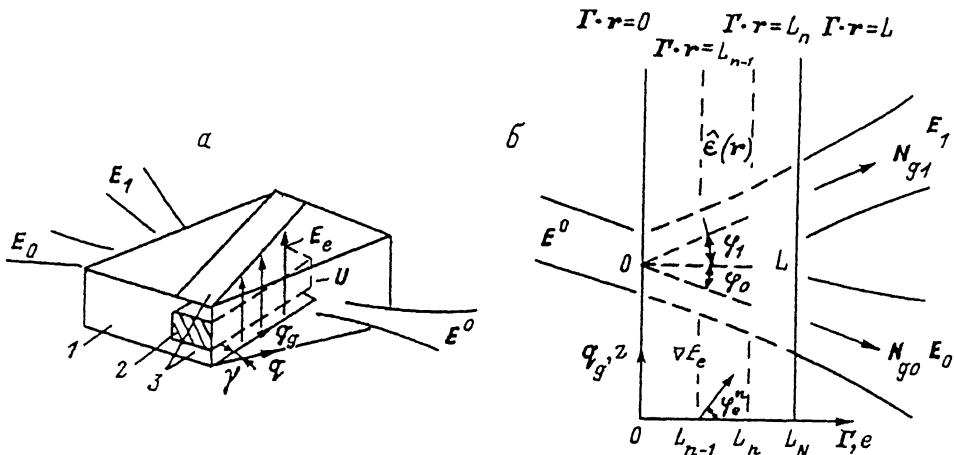


Рис. 1. Геометрия АЭОВ (а) и ее сечение плоскостью дифракции (б).
1 — среда АЭОВ, 2 — пьезообразователь, 3 — электродная структура.

здаваемое электродной структурой, нанесенной на поверхности кристалла (рис. 1, а), Γ — радиус-вектор. Отметим, что неоднородное распределение поля $E_e(r)$ может быть создано в фотопреломительных кристаллах при записи голограмм [3].

Под действием поля деформаций пучка $U(r, t)$ и поля $E_e(r)$ осуществляется возмущение тензора диэлектрической проницаемости среды $\hat{\epsilon}$ соответственно на величины $\Delta\hat{\epsilon}_a$ и $\Delta\hat{\epsilon}_e$, которые будем считать малыми по отношению к $\hat{\epsilon}_0$. Поэтому пространственную зависимость $\hat{\epsilon}(r, t)$ в полях U и E_e представим в линейном приближении

$$\hat{\epsilon}(r, t) = \hat{\epsilon}_0 + \Delta\hat{\epsilon}_a(r, t) + \Delta\hat{\epsilon}_e(r). \quad (1)$$

Здесь $\hat{\epsilon}_0$ — значение тензора $\hat{\epsilon}$ в невозмущенной среде;

$$\Delta\hat{\epsilon}_a(r, t) = \frac{1}{2} [\Delta\hat{\epsilon} U_m(r) \exp [i(\Omega_0 t - K_0 \cdot r)] + \text{к. с.}], \quad (2)$$

где $\Omega_0, K_0, U_m(r)$ — центральная частота, волновой вектор и распределение комплексной амплитуды $U(r, t)$; $\Delta\hat{\epsilon}$ — величина возмущения $\hat{\epsilon}_0$ в поле звуковой волны единичной амплитуды, изменением параметров которой под действием E_e , согласно [11], можно пренебречь;

$$\Delta\hat{\epsilon}_e(r) = -\hat{\epsilon}_0 (\hat{r}_e \cdot \hat{e}_e) \hat{\epsilon}_0 E_e(r), \quad (3)$$

\hat{r}_e — электрооптический тензор.

Геометрия АЭОВ показана на рис. 1, а. Область АЭОВ ограничена параллельными плоскостями $\Gamma \cdot r = 0$ и $\Gamma \cdot r = L$, которыми аппроксимируются границы звукового пучка $U(r)$ с лучевой нормалью q_g , перпендикулярной Γ и наклоненной к волновой нормали звука q на угол γ . Неоднородное поле $E_e(r)$ будем считать пространственно сосредоточенным для удобства последующих расчетов в слое, ограниченном плоскостями $\Gamma \cdot r = 0$ и $\Gamma \cdot r = L$. Сечение геометрии АЭОВ плоскостью дифракции показано на рис. 1, б.

Допустим, что на возмущенную область кристалла падает пространственно модулированный световой пучок $E^0(r, t)$, который на границе области АЭОВ ($\Gamma \cdot r = 0$) представим в виде квазиплоской волны

$$E^0(r, t) = \frac{1}{2} \left\{ e_0 E_0^0(r) \exp \left[i(\omega_0 t - k_0 \cdot r) \right] + \text{к. с.} \right\}, \quad (4)$$

где ω_0 , e — частота и вектор поляризации; $E_0(r)$ — распределение комплексной амплитуды на плоскости $\Gamma \cdot r = 0$ по координате $z = q_g \cdot r$.

Возмущенная область, согласно (1), является пространственно неоднородной в отношении оптических свойств, причем

$$\mu_a = |\Delta \hat{\epsilon}_a \cdot e_0| / |\hat{\epsilon}_0 \cdot e_0| \ll 1 \quad \text{и} \quad \mu_e = |\Delta \hat{\epsilon}_e \cdot e_0| / |\hat{\epsilon}_0 \cdot e_0| \ll 1. \quad (5)$$

Поэтому световое поле в области АЭОВ будем искать в рамках геометрооптического приближения двумерной брэгговской дифракции методом медленно меняющихся амплитуд (ММА) в виде суммы локально-плоских неоднородных волн [13] нулевого E_0 и первого E_1 дифракционных порядков

$$E(r, t) = \frac{1}{2} \left\{ \sum_{j=0,1} e_j E_j(r) \exp \left[i(\omega_j t - \int k_j \cdot dr) \right] + \text{к. с.} \right\}, \quad (6)$$

амплитуды которых $E_j(r)$ являются медленно меняющимися функциями координат в области АЭОВ и находятся из уравнений первого приближения MMA, частоты ω_j связаны соотношением $\omega_1 = \omega_0 + \Omega_0$, а поляризации e_j , оставаясь ортогональными лучевым нормалем N_{gj} световых пучков E_j , плавно изменяются вдоль соответствующих световых лучей в области АЭОВ и определяются нулевым приближением MMA.

Световое поле (6) должно удовлетворять векторному волновому уравнению

$$\text{rotrot}(E_0 + E_1) = -\mu_0 \epsilon_0 \frac{\partial^2}{\partial t^2} \left[\hat{\epsilon} \cdot (E_0 + E_1) \right], \quad (7)$$

где μ_0, ϵ_0 — магнитная и диэлектрическая проницаемости вакуума.

Подставляя (6) в (7), получим в первом приближении MMA укороченные уравнения для комплексных амплитуд $E_j(r)$

$$\begin{aligned} \frac{\partial}{\partial l} E_0(l, z) + \eta_0 \frac{\partial}{\partial z} E_0(l, z) &= -i C_0 U_m^*(l, z) E_1(l, z) \exp \left[i \int \Delta K(r) \cdot dr \right], \\ \frac{\partial}{\partial l} E_1(l, z) + \eta_1 \frac{\partial}{\partial z} E_1(l, z) &= -i C_1 U_m(l, z) E_0(l, z) \exp \left[-i \int \Delta K(r) \cdot dr \right], \end{aligned} \quad (8)$$

где

$$\Delta K(r) = k_0(r) - k_1(r) + K_0 \quad (9)$$

— локальный вектор фазовой расстройки; l, z — координаты вдоль составляющих

$$\text{grad} E_j = \Gamma \frac{\partial E_j}{\partial l} + q_g \frac{\partial E_j}{\partial z},$$

причем в плоскости дифракции $r = l \Gamma + z q_g$;

$$\eta_j = \frac{(e_j \cdot \hat{D}_j \cdot e_j)}{(e_j \cdot \hat{B}_j \cdot e_j)}, \quad C_j = \frac{k_0^2 (e_0 \cdot \Delta \hat{\epsilon} \cdot e_1)}{2 (e_j \cdot \hat{B}_j \cdot e_j)}, \quad (10)$$

k_0 — волновое число света в вакууме;

$$\hat{B}_j = k_0 n_j [2(N_j^* \cdot \Gamma) - \Gamma N_j - N_j \Gamma], \quad \hat{D}_j = k_0 n_j [2(N_j \cdot q_g) - q_g N_j - N_j q_g], \quad (11)$$

n_j, N_j — показатели преломления и волновые нормали пучков E_j .

Параметры n_j, e_j световых волн с нормалями N_j , входящие в (9), (10), находятся из уравнения нулевого приближения ММА, которое в неоднородной среде с учетом малости μ_e (5) и $\Omega_0 \ll \omega_j$ имеет вид

$$[n_j^2(\hat{I} - N_j N_j) - \hat{\epsilon}_0 - \Delta\hat{\epsilon}_e(r)] \cdot e_j = 0. \quad (12)$$

Краевые условия для решения уравнений (8), (9), (12) в геометрии АЭОВ, показанной на рис. 1, а, задаются на линии пересечения плоскости $\Gamma \cdot r = 0$ и плоскости дифракции (рис. 1, б)

$$E_0(l=0, z) = E^0(z), \quad E_1(l=0, z) = 0, \quad \Delta K(l=0, z) = \Delta K(z) \Gamma. \quad (13)$$

Определение амплитудно-фазовых распределений световых пучков первого $E_1(l, z)$ и нулевого $E_0(l, z)$ дифракционных порядков, удовлетворяющих уравнениям (8) и краевым условиям (13), при произвольной дифракционной эффективности АЭОВ в поле затухающего ультразвукового пучка $U(r)$ в условиях воздействия неоднородного электрического поля $E_e(r)$ с произвольной ориентацией e_e и $\text{grad } E_e$ является целью рассматриваемой задачи.

2. Фазовая расстройка АЭОВ и решение уравнений связанных волн

Для решения уравнений (8) примем во внимание независимость (в рамках принятых приближений) воздействий полей $E_e(r)$ и $U(r, t)$ на оптические свойства среды АЭОВ и установим зависимость $\Delta K(r)$ в явном виде. Для этого воспользуемся кусочно-линейной аппроксимацией поля $E_e(r)$. Разбивая область АЭОВ на N слоев вдоль l плоскостями $\Gamma \cdot r = L_n, n = 1 \dots N$ (рис. 1, б) и представляя $E_0(r)$ внутри каждого слоя первыми членами разложения в ряд Тейлора, получим

$$E_e(r) = e_e [E_e(r=0) + \sum_{n=1}^N \left\{ \frac{\partial E_e}{\partial l} \Big|_{l=L_{n-1}} \Big|_{z=0} l_n + \frac{\partial E_e}{\partial z} \Big|_{l=L_{n-1}} \Big|_{z=0} z \right\} \prod_n(l)], \quad (14)$$

где

$$\prod_n(l) = \begin{cases} 1 & \text{при } L_{n-1} \leq l < L_n, \\ 0 & \text{при } L_{n-1} > l, \quad l \geq L_n, \end{cases}$$

$l_n = l - L_{n-1}$ — текущая координата в пределах n -го слоя.

Также допустим, что на границе области АЭОВ $\Gamma \cdot r = 0$ световой пучок E_j в отсутствие возмущения тензора ϵ полем $E_e(r)$ характеризовался волновым вектором $k_j^* = N_j^* k_0 n_j^*$, составляющим достаточно большой угол с оптической осью кристалла, единичными векторами поляризации e_j^* и индукции d_j^* .

Тогда в системе координат, построенной на векторах g_g и Γ и помещенной в центр светового пучка E_j на границе $\Gamma \cdot r = 0$ (рис. 1, б), малые изменения $k_j(r)$ в первом слое ($n = 1$) области АЭОВ, обусловленные воздействием поля $E_e(r)$ на $\hat{\epsilon}$, аппроксимируем первыми членами ряда Тейлора [12], учитывая при этом изменение как модуля $|k_j|$, так и направления k_j рис. 2,

$$k_j(r, \Delta\Theta_j) \approx k_j^* + N_j^* k_0 \left(\frac{dn_j}{dr} \Big|_{r=0} \cdot r \right) + m_j \frac{k_0 n_j^*}{\cos\beta_j} \Delta\Theta_j + \dots \quad (15)$$

Здесь n_j — показатель преломления; m_j — базисный орт годографа R_j , описываемого концом вектора k_j , направленный по касательной к R_j в точке

k_j^* перпендикулярно групповой нормали N_{gj}^* ; β_j — угол сноса пучка E_j при $r = zq_g + \Gamma = 0$; $\Delta\Theta_j$ — угол между векторами N_j^* и $k_j(r)$;

$$\Delta\Theta_j = \frac{(m_j \cdot \nabla n_j)}{n_j^*} \cos\beta_j \xi_j, \quad (16)$$

где лучевая координата ξ_j отсчитывается вдоль N_{gj}^* от плоскости $\Gamma \cdot r = 0$ (рис 1, б) и связана с координатой $l = \Gamma \cdot r$ как $\xi_j = l / (N_{gj} \cdot \Gamma)$,

$$\frac{dn_j}{dr} = \frac{\partial n_j}{\partial z} q_g + \frac{\partial n_j}{\partial l} \Gamma = \nabla n_j \quad (17)$$

— градиент $n_j(r)$.

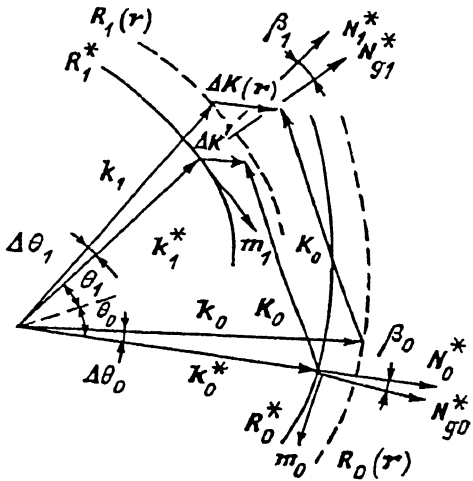


Рис. 2. Векторная диаграмма АЭОВ в локальной точке оптически неоднородной среды.

Зависимость $n_j(r)$ определим, используя малость искусственного двупреломления, обусловленного добавкой $\Delta\hat{\epsilon}$ к $\hat{\epsilon}_0$, по отношению к естественному [16]

$$n_j(r) = n_j^* - \frac{1}{2} n_j^{*3} [d_j^* \cdot (\hat{r}_e \cdot e_e) \cdot d_j^*] E_e(r), \quad (18)$$

где $n_j^*, e_e^*, d_j^* = \hat{\epsilon}_0 \cdot e_e^*/n_j^{*2}$ — параметры световой волны с волновой нормалью N_j^* , рассчитываемые из уравнения (12) при отсутствии электрического поля $E_e = 0$ ($\Delta\hat{\epsilon}_e = 0$).

Использование геометрооптического приближения, т. е. локального представления пучков E_j набором лучей, позволяет рассматривать АЭОВ каждого луча аналогично АОВ плоских волн в анизотропной среде [12] и считать, что не только на границе области АЭОВ (13), но и в любой ее точке локальный вектор фазовой расстройки $\Delta K(r)$ направлен вдоль нормали Γ к граничной плоскости $\Gamma \cdot r = 0$ (рис. 2). Тогда, подставляя (15)–(17) в (9) и учитывая, что на границе первого слоя области АЭОВ при $r = 0$

$$k_0^* - k_1^* + K_0 = \Delta K' \Gamma. \quad (19)$$

где $\Delta K'$ — начальная фазовая расстройка, получим векторное уравнение, определяющее зависимость $\Delta K(r)$ в первом слое области АЭОВ,

$$\begin{aligned} \Delta K' \Gamma &= \Delta K' \Gamma + N_1^* k_0(r \cdot \nabla n_0) - N_1^* k_0(r_1 \cdot \nabla n_1) + \\ &+ m_0 k_0 \frac{(m_0 \cdot \nabla n_0)}{(\Gamma \cdot N_{g0}^*)} l_1 + m_1 k_0 \frac{(m_1 \cdot \nabla n_1)}{(\Gamma \cdot N_{g0}^*)} l_1. \end{aligned} \quad (20)$$

Здесь и далее полагается, что ∇n_j взяты в точке $r = 0$. Умножив уравнение (20) скалярно на Γ и учитывая разложение $r_1 = zq_g + l_1 \Gamma$, получим

$$\Delta K_1(l_1, z) = \Delta K' + s_1 z + t_1 l_1, \quad (21)$$

где коэффициенты

$$s_1 = k_0 [(\mathbf{\Gamma} \cdot \mathbf{N}_0^*) (\mathbf{q}_g \cdot \nabla n_0) - (\mathbf{\Gamma} \cdot \mathbf{N}_1^*) (\mathbf{q}_g \cdot \nabla n_1)],$$

$$t_1 = k_0 [(\mathbf{\Gamma} \cdot \mathbf{N}_0^*) (\mathbf{\Gamma} \cdot \nabla n_0) - (\mathbf{\Gamma} \cdot \mathbf{N}_1^*) (\mathbf{\Gamma} \cdot \nabla n_1) +$$

$$+ \frac{|\mathbf{\Gamma} \times \mathbf{N}_{g0}^*| |\mathbf{N}_{g0}^* \times \nabla n_0|}{(\mathbf{\Gamma} \cdot \mathbf{N}_{g0}^*)} - \frac{|\mathbf{\Gamma} \times \mathbf{N}_{g1}^*| |\mathbf{N}_{g1}^* \times \nabla n_1|}{(\mathbf{\Gamma} \cdot \mathbf{N}_{g1}^*)}] \quad (22)$$

определяют влияние направления и величины $\text{grad}E_e$, связь которого с ∇n_j , согласно (18), (14) имеет вид

$$\nabla n_j = -0.5 n_j^{*3} [\mathbf{d}_j^* \cdot (\mathbf{r}_e \cdot \mathbf{e}_e) \cdot \mathbf{d}_j] \text{grad}E_e. \quad (23)$$

Фазовая расстройка $\Delta K'$ в (21) является функцией угла падения Θ_0 пучка E_0 , частоты f_0 поля \mathbf{U} и постоянной составляющей $E_e^0 = E_e(\mathbf{r} = 0)$ поля E_e

$$\Delta K' = \Delta K(\Theta_0) + \Delta K(f_0) + \Delta K(E_e^0). \quad (24)$$

Зависимости $\Delta K(\Theta_0, f_0)$ для различных геометрий дифракции можно найти в [12], а $\Delta K(E_e^0)$ определяется формулой

$$\Delta K(E_e^0) = k_0 \left[\frac{(\mathbf{N}_0^* \cdot \mathbf{N}_{g1}^*) \delta n_0 - (\mathbf{N}_1^* \cdot \mathbf{N}_{g1}^*) \delta n_1}{(\mathbf{N}_{g1}^* \cdot \mathbf{\Gamma})} \right] E_e^0, \quad (25)$$

где

$$\delta n_j = -0.5 n_j^{*3} [\mathbf{d}_j^* \cdot (\mathbf{r}_e \cdot \mathbf{e}_e) \cdot \mathbf{d}_j^*]. \quad (26)$$

Аналогично находится фазовая расстройка n -го слоя области АЭОВ

$$\Delta K_n(l_n, z) = \Delta K_{n-1} + s_n z + t_n l_n. \quad (27)$$

Здесь s_n, t_n вычисляются по формулам (22), (23), где ∇n_j , согласно (14), (23), определяются в точках $\mathbf{r} = L_{n-1}\mathbf{\Gamma}$.

Из соотношений (26)–(28) видно, что характер АЭОВ существенно зависит от ориентации и величины $\text{grad}E_e$ в каждом слое области взаимодействия и режима дифракции.

Так, для аномального АЭОВ, геометрия дифракции которого показана на рис. 2, коэффициенты s_n, t_n в (27) принимают вид

$$s_n = k_0 [\delta n_0 \cos(\Theta_0 - \gamma) - \delta n_1 \cos(\Theta_1 + \gamma)] \sin \varphi_e^n | \text{grad}E_e |,$$

$$t_n = k_0 [\{\delta n_0 \cos(\Theta_0 - \gamma) - \delta n_1 \cos(\Theta_1 + \gamma)\} \times$$

$$\times \cos \varphi_e^n + \delta n_0 \operatorname{tg} \varphi_0 \sin(\varphi_e^n - \varphi_0) - \delta n_1 \operatorname{tg} \varphi_1 \sin(\varphi_e^n - \varphi_1)] | \text{grad}E_e |, \quad (28)$$

где φ_j — углы между \mathbf{N}_{gj}^* и $\mathbf{\Gamma}$, причем $\varphi_j = \Theta_j - \beta_j \pm \gamma$; Θ_0, Θ_1 — углы падения и дифракции пучков E_0 и E_1 ; φ_e^n — угол, характеризующий ориентацию $\text{grad}E_e$ в n -м слое и отсчитываемый от орта $\mathbf{\Gamma}$; δn_j даны (26).

В условиях нормального АЭОВ обычно поляризованных световых волн в одноосных кристаллах $\delta n_0 = \delta n_1 = \delta n$ и, согласно (22),

$$s_n = 2k_0 \delta n | \text{grad}E_e | \sin y \sin \Theta_0 \sin \varphi_e^n,$$

$$t_n = k_0 \delta n [2 \sin y \sin \Theta_0 \cos \varphi_e^n + \operatorname{tg}(y - \Theta_0) \times$$

$$\times \sin(\varphi_e^n + \Theta_0 - y) - \operatorname{tg}(\Theta_0 + y) \sin(\varphi_e^n - \Theta_0 - y)] | \text{grad}E_e | \quad (29)$$

Видно, что при $\gamma = 0$ коэффициент $s_n = 0$, а $t_n = -2k_0 \delta n |\text{grad}E_e| \times \sin\Theta_0 \sin\varphi_e^n$.

При нормальном АЭОВ необыкновенно поляризованных волн для случая $\gamma = 0$ из (27) получим

$$s_n = 2k_0 \delta n |\text{grad}E_e| \sin\beta_0 \sin\Theta_0 \sin\varphi_e^n,$$

$$t_n = 2k_0 \delta n |\text{grad}E_e| [\sin\beta_0 \sin\Theta_0 \cos\varphi_e^n - \sin\Theta_0 \sin\varphi_e^n]. \quad (30)$$

Далее будем полагать, что длина любого выделенного слоя области АЭОВ $l_n = L_n - L_{n-1}$ ($n = 1 \dots N$) удовлетворяет неравенству

$$Q = \lambda f_0^2 l_n / v^2 \geq 10,$$

определеняющему режим дифракции Брэгга. Тогда анализ процесса АЭОВ в неоднородном поле $E_e(r)$ вида (14) можно свести к решению N независимых задач брэгговского АЭОВ в линейно-неоднородных слоях анизотропной среды. При этом в каждом n -м слое АЭОВ между световыми волнами E_0^n и E_1^n происходит с фазовой расстройкой ΔK_n (27) и описывается уравнениями (8).

Учитывая, что во многих практических геометриях дифракции коэффициенты $\eta_j = \text{tg}(\varphi_j) < 1$, будем считать, что в уравнениях (8) $\partial E_j / \partial l \gg \eta_j \partial E_j / \partial z$, а $U_m(l, z) = U_0 \exp[-\alpha z]$ при $0 \leq l \leq L_n = L$, где U_0, α — амплитуда и затухание акустического пучка. С учетом этого и зависимости $\Delta K_n(l_n, z)$, найденной выше, система уравнений (8) запишется

$$\frac{dE_0^n(l_n, z)}{dl_n} = -iC_0 U_0 E_1^n(l_n, z) \exp \left[i(\Delta K_{n-1} + s_n z) l_n + i \frac{t_n l_n^2}{2} - \alpha z \right],$$

$$\frac{dE_1^n(l_n, z)}{dl_n} = -iC_1 U_0 E_0^n(l_n, z) \exp \left[-i(\Delta K_{n-1} + s_n z) l_n - i \frac{t_n l_n^2}{2} - \alpha z \right]. \quad (31)$$

Краевые условия для решения (31) с учетом (13) имеют вид

$$E_1^n(l_n = 0, z) = \begin{cases} 0 & \text{при } n = 1, \\ E_1^{n-1}(l_{n-1} = L_{n-1} - L_{n-2}, z), & \text{при } n = 2, 3, \dots, N, \end{cases}$$

$$E_0^n(l_n = 0, z) = \begin{cases} E^0(z) & \text{при } n = 1, \\ E_0^{n-1}(l_{n-1} = L_{n-1} - L_{n-2}, z) & \text{при } n = 2, 3, \dots, N. \end{cases} \quad (32)$$

Исключая из системы (31) E_0 и делая в полученном уравнении замену переменных

$$l_n = \sqrt{\frac{2\alpha z}{a}} - \frac{b}{a}, \quad E_1^n(l) = \left(l_n + \frac{b}{a}\right)^{-0.5} \exp \left[-\frac{a}{4} \left(l_n + \frac{b}{a}\right)^2 \right] \nu(\alpha z),$$

приходим к дифференциальному уравнению гипергеометрического типа [17]

$$4\alpha^2 \frac{d^2 \nu}{d\alpha^2} - (\alpha^2 - 4K\alpha + 4M^2 - 1) \nu = 0,$$

где $a = it_n$; $b = i(\Delta K_{n-1} + s_n z)$; $d = k \exp[-2\alpha z]$; $K = d/2a - 1/4$; $M = 1/4$; $k = U_0^2 C_0 C_1$ — коэффициенты АО связи.

Учитывая, что решение последнего уравнения выражается через вырожденную гипергеометрическую функцию первого рода $\Phi(a, c, z)$ [16], запишем общие решения системы уравнений (31)

$$E_1^n(l_n, z) = C_z^n(z) (i|a|)^{0.5} \left(l_n + \frac{b}{a} \right) \Phi \left(\frac{d}{2a} + \frac{1}{2}, \frac{3}{2}, \frac{i|a|}{2} \left(l_n + \frac{b}{a} \right)^2 \right) + C_3^n(z) \times \\ \times \Phi \left(\frac{d}{2a}, \frac{1}{2}, \frac{i|a|}{2} \left(l_n + \frac{b}{a} \right)^2 \right), \quad (33)$$

$$E_0^n(l_n, z) = \frac{i}{C_1 U_0} \exp \left[\frac{al_n^2}{2} + bl_n + \alpha z \right] \left[C_2^n(z) \sqrt{i|a|} \times \right. \\ \times \left\{ \Phi \left(\frac{d}{2a} + \frac{1}{2}, \frac{3}{2}, \frac{i|a|}{2} \left(l_n + \frac{b}{a} \right)^2 \right) + \frac{i|a|}{3} \left(l_n + \frac{b}{a} \right)^2 \left(\frac{d}{a} + 1 \right) \times \right. \\ \times \Phi \left(\frac{d}{2a} + \frac{3}{2}, \frac{5}{2}, \frac{i|a|}{2} \left(l_n + \frac{b}{a} \right)^2 \right) \left. \right\} + C_3^n(z) \frac{i|a|d}{a} \left(l_n + \frac{b}{a} \right) \times \\ \times \Phi \left(\frac{d}{2a} + 1, \frac{3}{2}, \frac{i|a|}{2} \left(l_n + \frac{b}{a} \right)^2 \right) \left. \right], \quad (34)$$

где $C_2^n(z)$, $C_3^n(z)$ — комплексные постоянные интегрирования, определяемые из граничных условий (32) и обеспечивающие сшивание решений (33), (34) n -го и $n-1$ -го слоев на границе $\Gamma \cdot r = L_{n-1}$. При $n = N$ формулы (33), (34) определяют распределения амплитуд световых полей на выходе области АЭОВ $E_i(L, z) = E_i^N(l_n, z)$, которые представляют самосогласованные решения поставленной задачи в замкнутой форме и в рамках принятой модели АЭОВ справедливы для произвольных амплитуд полей E_e и U . При отсутствии неоднородности амплитуды поля E_e решения (33), (34) переходят в известные [12].

3. Передаточные функции АЭОВ

Для описания процессов преобразования пространственных профилей пучков E_j^n при изменении параметров АЭОВ в практических расчетах решение (33) уравнений (31) удобно представить в виде рекуррентных соотношений

$$E_1^n(l_n, z) = E_0^{n-1}(z) T_{01}^n(l_n, z) + E_1^{n-1}(z) T_{11}^n(l_n, z). \quad (35)$$

Здесь введены парциальные передаточные функции ($\Pi\Phi$) T_{01}^n , T_{11}^n возмущенного ультразвуковым пучком $U(r, t)$ и линейно-неоднородным электрическим полем $E_e(r)$ n -го слоя кристаллической среды, описывающие преобразование пространственных профилей $E_0^{n-1}(z)$ и $E_1^{n-1}(z)$ на входе n -го слоя в распределение $E_1^n(z)$ на его выходе.

Используя граничные условия (32) для отыскания коэффициентов C_2^n , C_3^n и опуская громоздкие промежуточные преобразования, найдем входящие в (35) парциальные $\Pi\Phi$ T_{01}^n

$$\begin{aligned}
T_{01}^n(\Delta K', l_n, z) = & -iC_1 U_0 \exp[-az] \left\{ a \left(l_n + \frac{b}{a} \right) \Phi \left(\frac{d}{2a}, \frac{1}{2}, \frac{i|a|b^2}{2a^2} \right) \times \right. \\
& \times \Phi \left(\frac{d}{2a} + \frac{1}{2}, \frac{3}{2}, \frac{i|a|}{2} \left(l_n + \frac{b}{a} \right)^2 \right) - b \Phi \left(\frac{d}{2a} + \frac{1}{2}, \frac{3}{2}, \frac{i|a|b^2}{2a^2} \right) \times \\
& \times \Phi \left(\frac{d}{2a}, \frac{1}{2}, \frac{i|a|}{2} \left(l_n + \frac{b}{a} \right)^2 \right) \} \left\{ a \Phi \left(\frac{d}{2a}, \frac{1}{2}, \frac{i|a|b^2}{2a^2} \right) \times \right. \\
& \times \left[\Phi \left(\frac{d}{2a} + \frac{1}{2}, \frac{3}{2}, \frac{i|a|b^2}{2a^2} \right) + \frac{i|a|b^2}{3a^2} \left(\frac{d}{a} + 1 \right) \Phi \left(\frac{d}{2a} + \frac{3}{2}, \frac{5}{2}, \frac{i|a|b^2}{2a^2} \right) \right] - \\
& \left. - i|a|d \frac{b^2}{a^2} \Phi \left(\frac{d}{2a} + 1, \frac{3}{2}, \frac{i|a|b^2}{2a^2} \right) \Phi \left(\frac{d}{2a} + \frac{1}{2}, \frac{3}{2}, \frac{i|a|b^2}{2a^2} \right) \right\}^{-1} \quad (36)
\end{aligned}$$

и парциальные ПФ T_{11}^n

$$\begin{aligned}
T_{11}^n(\Delta K', l_n, z) = & \left\{ a \Phi \left(\frac{d}{2a}, \frac{1}{2}, \frac{i|a|}{2} \left(l_n + \frac{b}{a} \right)^2 \right) \times \right. \\
& \times \left[\Phi \left(\frac{d}{2a} + \frac{1}{2}, \frac{3}{2}, \frac{i|a|b^2}{2a^2} \right) + \frac{i|a|b^2}{3a^2} \left(\frac{d}{a} + 1 \right) \Phi \left(\frac{d}{2a} + \frac{3}{2}, \frac{5}{2}, \frac{i|a|b^2}{2a^2} \right) \right] \times \\
& \times \frac{i|a|bd}{a} \left(l_n + \frac{b}{a} \right) \Phi \left(\frac{d}{2a} + \frac{1}{2}, \frac{3}{2}, \frac{i|a|b^2}{2a^2} \right) \times \\
& \times \Phi \left(\frac{d}{2a} + 1, \frac{3}{2}, \frac{i|a|}{2} \left(l_n + \frac{b}{a} \right)^2 \right) \} \left\{ a \Phi \left(\frac{d}{2a}, \frac{1}{2}, \frac{i|a|b^2}{2a^2} \right) \times \right. \\
& \times \left[\Phi \left(\frac{d}{2a} + \frac{1}{2}, \frac{3}{2}, \frac{i|a|b^2}{2a^2} \right) + i \frac{|a|b^2}{3a^2} \left(\frac{d}{a} + 1 \right) \Phi \left(\frac{d}{2a} + \frac{3}{2}, \frac{5}{2}, \frac{i|a|b^2}{2a^2} \right) \right] - \\
& \left. - i|a|d \frac{b^2}{a^2} \Phi \left(\frac{d}{2a} + 1, \frac{3}{2}, \frac{i|a|b^2}{2a^2} \right) \Phi \left(\frac{d}{2a} + \frac{1}{2}, \frac{3}{2}, \frac{i|a|b^2}{2a^2} \right) \right\}^{-1} \quad (37)
\end{aligned}$$

Заметим, что при $n = 1$ $T_{11}^1 = 0$.

Аналогично (35), используя решение (34), запишем рекуррентные формулы для вычисления E_0^n

$$E_0^n(l_n, z) = E_0^{n-1}(z) T_{00}^n(l_n, z) + E_1^{n-1}(z) T_{10}(l_n, z), \quad (38)$$

где парциальные ПФ T_{00}^n и T_{10} описывают процесс образования светового распределения $E_0^n(z)$ на выходе n -го слоя через значения $E_0^{n-1}(z)$ и $E_1^{n-1}(z)$ на его входе. Воспользовавшись (34) и (32), получим выражения для входящих в (38) ПФ T_{00}^n

$$\begin{aligned}
T_{00}^n(\Delta K', l_n, z) = & \exp [al_n^2/2 + bl_n] \left\{ a\Phi\left(\frac{d}{2a}, \frac{1}{2}, \frac{i|a|b^2}{2a^2}\right) \times \right. \\
& \times \left[\Phi\left(\frac{d}{2a} + \frac{1}{2}, \frac{3}{2}, \frac{i|a|}{2}\left(l_n + \frac{b}{a}\right)^2\right) + \frac{i|a|}{3}\left(l_n + \frac{b}{a}\right)^2\left(\frac{d}{a} + 1\right) \times \right. \\
& \times \Phi\left(\frac{d}{2a} + \frac{3}{2}, \frac{5}{2}, \frac{i|a|}{2}\left(l_n + \frac{b}{a}\right)^2\right) \left. \right] - \frac{i|a|bd}{a}\left(l_n + \frac{b}{a}\right) \times \\
& \times \Phi\left(\frac{d}{2a} + \frac{1}{2}, \frac{3}{2}, \frac{i|a|b^2}{2a^2}\right) \Phi\left(\frac{d}{2a} + 1, \frac{3}{2}, \frac{i|a|}{2}\left(l_n + \frac{b}{a}\right)^2\right) \left. \right\} \times \\
& \times \left\{ a\Phi\left(\frac{d}{2a}, \frac{1}{2}, \frac{i|a|b^2}{2a^2}\right) \left[\Phi\left(\frac{d}{2a} + \frac{1}{2}, \frac{3}{2}, \frac{i|a|b^2}{2a^2}\right) + i\frac{|a|b^2}{3a^2}\left(\frac{d}{a} + 1\right) \times \right. \right. \\
& \times \Phi\left(\frac{d}{2a} + \frac{3}{2}, \frac{5}{2}, \frac{i|a|b^2}{2a^2}\right) \left. \right] - i|a|d\frac{b^2}{a^2}\Phi\left(\frac{d}{2a} + 1, \frac{3}{2}, \frac{i|a|b^2}{2a^2}\right) \times \\
& \left. \times \Phi\left(\frac{d}{2a} + \frac{1}{2}, \frac{3}{2}, \frac{i|a|b^2}{2a^2}\right) \right\}^{-1} \tag{39}
\end{aligned}$$

и ПФ T_{10}^n

$$\begin{aligned}
T_{10}^n(\Delta K', l_n, z) = & \frac{|a|d}{C_1 U_0} \exp [al_n^2/2 + bl_n + \alpha z] \left\{ \frac{b}{a}\Phi\left(\frac{d}{2a} + 1, \frac{3}{2}, \frac{i|a|b^2}{2a^2}\right) \times \right. \\
& \times \left[\Phi\left(\frac{d}{2a} + \frac{1}{2}, \frac{3}{2}, \frac{i|a|}{2}\left(l_n + \frac{b}{a}\right)^2\right) + \frac{i|a|}{3}\left(l_n + \frac{b}{a}\right)^2\left(\frac{d}{a} + 1\right) \times \right. \\
& \times \Phi\left(\frac{d}{2a} + \frac{3}{2}, \frac{5}{2}, \frac{i|a|}{2}\left(l_n + \frac{b}{a}\right)^2\right) \left. \right] - \left(l_n + \frac{b}{a}\right) \Phi\left(\frac{d}{2a} + 1, \frac{3}{2}, \frac{i|a|}{2}\left(l_n + \frac{b}{a}\right)^2\right) \times \\
& \times \left[\Phi\left(\frac{d}{2a} + \frac{1}{2}, \frac{3}{2}, \frac{i|a|b^2}{2a^2}\right) + \frac{i|a|b^2}{3a^2}\left(\frac{d}{a} + 1\right)\Phi\left(\frac{d}{2a} + \frac{3}{2}, \frac{5}{2}, \frac{i|a|b^2}{2a^2}\right) \right] \left. \right\} \times \\
& \times \left\{ a\Phi\left(\frac{d}{2a}, \frac{1}{2}, \frac{i|a|b^2}{2a^2}\right) \left[\Phi\left(\frac{d}{2a} + \frac{1}{2}, \frac{3}{2}, \frac{i|a|b^2}{2a^2}\right) + i\frac{|a|b^2}{3a^2} \times \right. \right. \\
& \times \left(\frac{d}{2a} + 1\right)\Phi\left(\frac{d}{2a} + \frac{3}{2}, \frac{5}{2}, \frac{i|a|b^2}{2a^2}\right) \left. \right] - i|a|d\frac{b^2}{a^2}\Phi\left(\frac{d}{2a} + 1, \frac{3}{2}, \frac{i|a|b^2}{2a^2}\right) \times \\
& \left. \times \Phi\left(\frac{d}{2a} + \frac{1}{2}, \frac{3}{2}, \frac{i|a|b^2}{2a^2}\right) \right\}^{-1}. \tag{40}
\end{aligned}$$

Заметим, что при $n = 1$ $T_{10}^1 = 0$.

Далее, последовательно применяя формулы (35), (38) от $n = 1$ до $n = N$, получим окончательное выражение для вычисления световых полей $E_0(l, z)$ и $E_1(l, z)$, выраженное через поле $E^0(z)$ и парциальные ПФ T_{kl}^n всех слоев

$$E_j(L, z) = E_0(z) \left[\sum_k^{0.1} \sum_l^{0.1} T_{0l}^1 \dots T_{kl}^{n-1} T_{lk}^n \dots T_{lj}^N \right], \quad (41)$$

где $j = 0, 1$, а ПФ T_{kl}^n вычисляются по формулам (36), (37), (39), (40).

При составлении произведений ПФ T_{kl}^n ($n = 1 \dots N$) в (41) должны быть выполнены следующие правила: произведения ПФ начинаются только с T_{01}^1 или T_{00}^1 ; последний индекс T_{lk}^N совпадает с номером рассматриваемого дифракционного порядка; смежные индексы ПФ $n-1$ -го и n -го слоев одинаковы. Например, при $N = 3$ из (41) получим

$$E_j(L, z) = E_0(z) [T_{00}^1 T_{00}^2 T_{0j}^3 + T_{00}^1 T_{01}^2 T_{1j}^3 + T_{01}^1 T_{11}^2 T_{1j}^3 + T_{01}^1 T_{10}^2 T_{0j}^3] \quad (j = 0, 1).$$

Здесь, а также в (41) выражения в квадратных скобках являются ПФ T_j ($j = 0, 1$) всей области АЭОВ, которые характеризуют преобразование амплитудно-фазовых распределений пучков E_j для произвольных ориентации и величины $\text{grad } E_e$, частоты и мощности акустического пучка U , а также геометрии дифракции.

4. Результаты расчета и обсуждение

Для получения представлений об особенностях исследуемого АЭОВ был проведен расчет ПФ $T_1 = T_{01}^1$ и $T_0 = T_{00}^1$ по формулам (36), (39) для частного, но практически интересного случая АЭОВ в линейно-неоднородном поле E_e . В вычислениях использовались безразмерные параметры $b^* = \sqrt{kL}$, $\Delta K^* = \Delta K' L$, $\alpha^* = \alpha z^*$, $t^* = \sqrt{t/2L}$, $S^* = szL$, соответственно характеризующие величины АО связи и фазовой расстройки, затухания звука, продольной ($\varphi_e = 0^\circ$), поперечной ($\varphi_e = 90^\circ$) и смешанной ($0 < \varphi_e < 90^\circ$) неоднородности поля E_e .

На рис. 3–6 приведены результаты такого расчета для различных коэффициентов АО связи и величин продольной неоднородности поля E_e , полученные при $\alpha^* \cong 0$ и $s^* \cong 0$. Учет поперечной неоднородности $s \neq 0$, согласно (21), (31), приведет к смещению приведенных зависимостей на величину $\Delta K^* = s^*$. Случай АЭОВ с $\alpha^* \neq 0$ несложно проанализировать, воспользовавшись результатами [13] и графиками рис. 3–6. При этом выводы [13] будут распространяться и на рассматриваемое АЭОВ, если в [13] параметр c^* заменить величиной $|t/2|^{0.5}$ и ввести начальную фазовую расстройку, равную $-tL/2$.

Зависимости $|T_1(b^*)|^2$ на рис. 3, а получены при $\Delta K^* = 0$ для разных значений t^* и характеризуют энергообмен между дифрагированными пучками E_0 и E_1 . Видно, что при величинах $t^* < 1.5$ неоднородность поля E_e практически не изменяет периодически осциллирующего характера зависимости $|T_1(b^*)|^2$. При возрастании $t^* > 1.5$ дифракционная эффективность АЭОВ резко падает в области $b^* = 0-3$, а при $b^* > 3$ носит колебательно-затухающий характер. Это вызвано увеличением фазовой расстройки между световыми пучками E_j по мере их распространения в области АЭОВ. Причем квадратичная зависимость $\Delta K^* \sim L^2$ в области АЭОВ может существенно изменить характер перекачки энергии из нулевого в первый дифракционный порядок. Расчет показывает (рис. 3, б), что при введении начальной фазовой расстройки $\Delta K' = -t^2/L$, компенсирующей в центре области АЭОВ расстройку $\Delta K \sim tl$, с ростом $t^* > 1.5$ вблизи значений АО связи $b^* \cong 3$ и 6 наблюдается существенное увеличение эффективности АЭОВ от $|T_1| \cong 0$ до $|T_1| \cong 1$. При $t^* \cong 3$ это приводит к образованию участка зави-

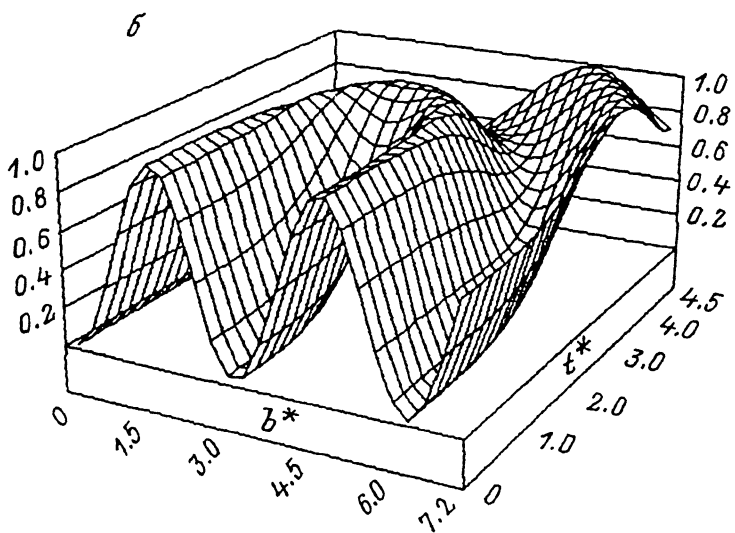
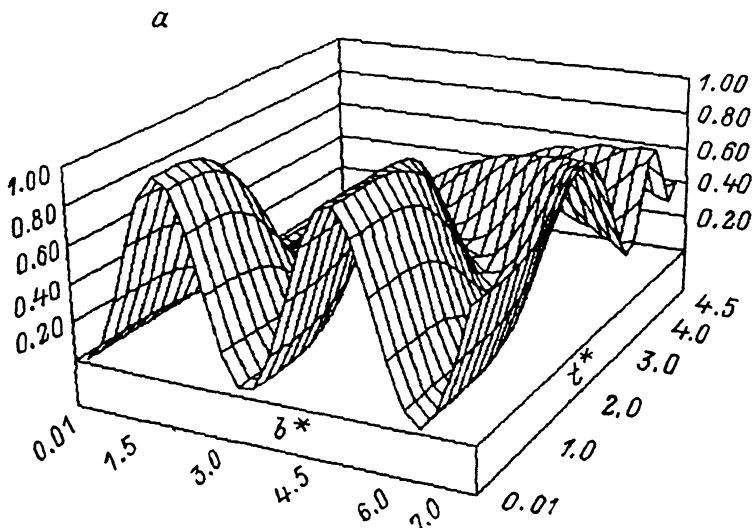


Рис. 3. Зависимость ПФ $|T_1|^2$ от параметра b^* при различных значениях t^* и ΔK^* .
 ΔK^* : а — 0, б — t^{*2} .

симости $|T_1|(1.5 < b^* < 6)|^2 \approx 1$ со слабой чувствительностью к изменению АО связи. Данный эффект режима сильного АЭОВ аналогичен описанному в [13] и может быть использован для компенсации снижения эффективности дифракции, обусловленной затуханием или расходимостью акустических волн.

Преобразование формы ПФ $|T_1(\Delta K^*)|^2$ в зависимости от степени АО связи b^* при различных значениях $\text{grad}E_e$, характеризуемых параметром t^* , показано на рис. 4, 5. Небольшие неоднородности поля E_e , соответствующие $t^* < 1.5$, практически не сказываются на ПФ $|T_1(\Delta K^*)|$, поведение которой с ростом b^* имеет известный вид рис. 4, а. При увеличении $t^* > 1.5$ наблюдаются эффекты

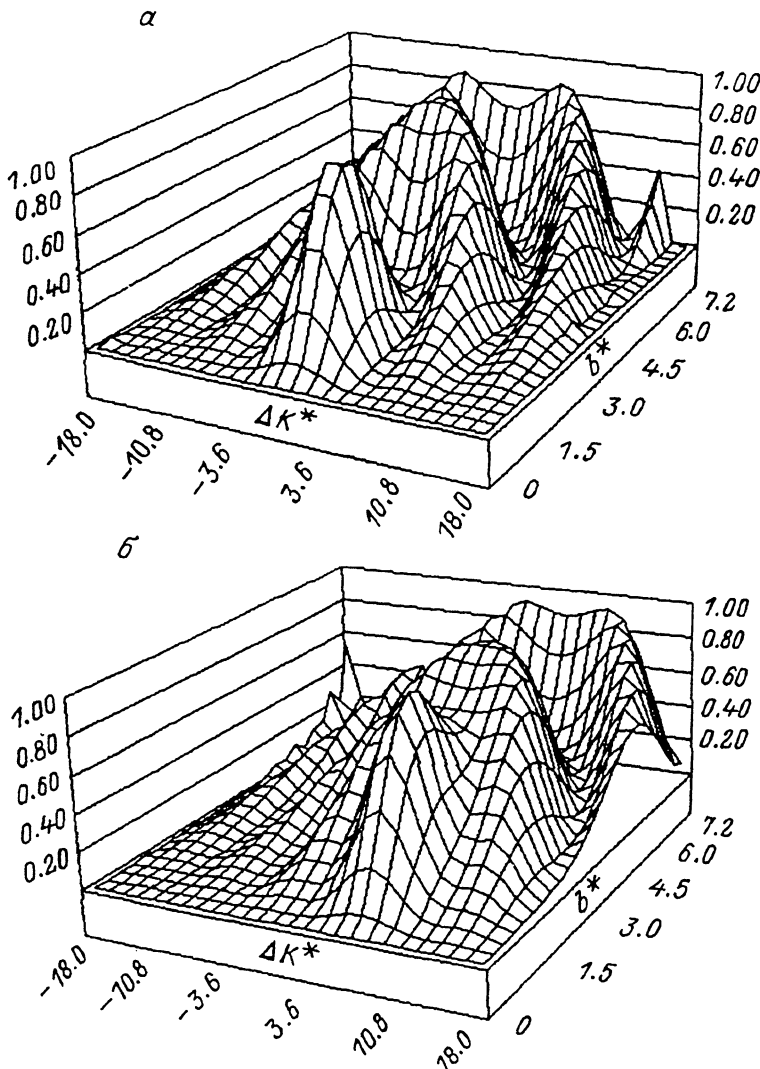


Рис. 4. Зависимость ПФ $|T_1|^2$ от фазовой расстройки ΔK^* при различных значениях АО связи b^* и параметра t^{*2} .

t^* : а — 15, б — 2.5.

смещения (рис. 5, а) и существенной трансформации формы ПФ $|T_1(\Delta K^*)|$ при сильном АЭОВ (рис. 4, б, 5, б). Величина смещения ПФ не зависит от АО связи b^* (рис. 5), равна t^{*2} и может быть скомпенсирована, например, введением начальной расстройки от угла Брэгга $\Delta K(\Theta_0) = -t^{*2}/L$ (рис. 6). Изменение ПФ АЭОВ в области $1.5 < t^* < 3$ наблюдается только при сильном АО связи $b^* > 2$ и характеризуется значительным уширением ПФ (более чем в 2 раза) и близкими к максимальным значениям дифракционной эффективности ПФ АЭОВ (рис. 6, а). Это обусловлено насыщающимся характером энергообмена пучков E_1 и E_0 при АЭОВ с $\Delta K^* \leq t^*$ и монотонно возрастающим в условиях $t^* \leq \Delta K^* \leq t^{*2}$. При АЭОВ с $t^* > 3$, как видно из рис. 6, б, закономерности в изменении вида и

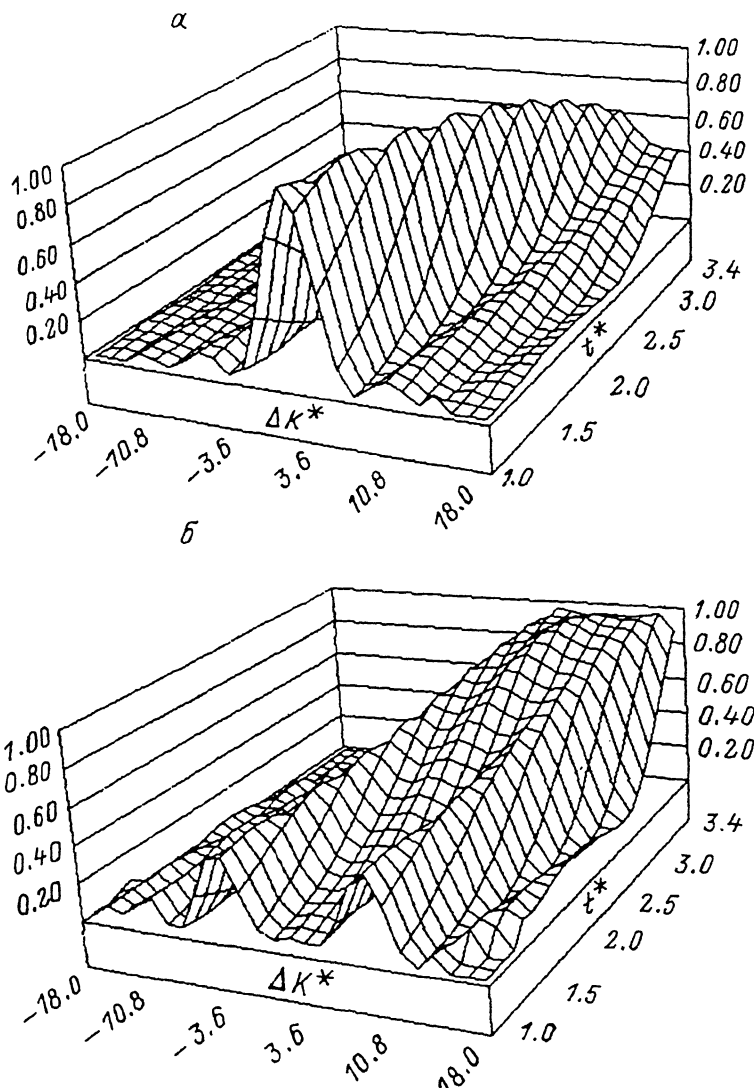


Рис. 5. Зависимость ПФ $|T_1|^2$ от фазовой расстройки ΔK^* при различных значениях параметров t^* , b^* .

b^* : а — 1.5, б — 3.

уширении ПФ T_1 для слабого взаимодействия аналогичны описанным в [10], а при больших значениях АО связи $b^* > 2$ соответствуют области $t^* < 3$, но выражены менее сильно. Наконец, как видно из сравнения рис. 4, а и рис. 6, в режиме сильного АЭОВ ($b^* \approx 1.5-4.0$) неоднородность электрического поля E_e ($t^* \approx 2.5-4$) приводит к увеличению в несколько раз произведения ширины полосы пропускания ПФ T_1 , характеризующей угловую апертуру и полосу частот АОВ, на величину максимальной дифракционной эффективности и его сохранению в широком диапазоне значений b^* . Для численных оценок данного эффекта можно использовать результаты [14], где аналогичные явления отмечались при сильном АОВ в неоднородном ультразвуковом поле.

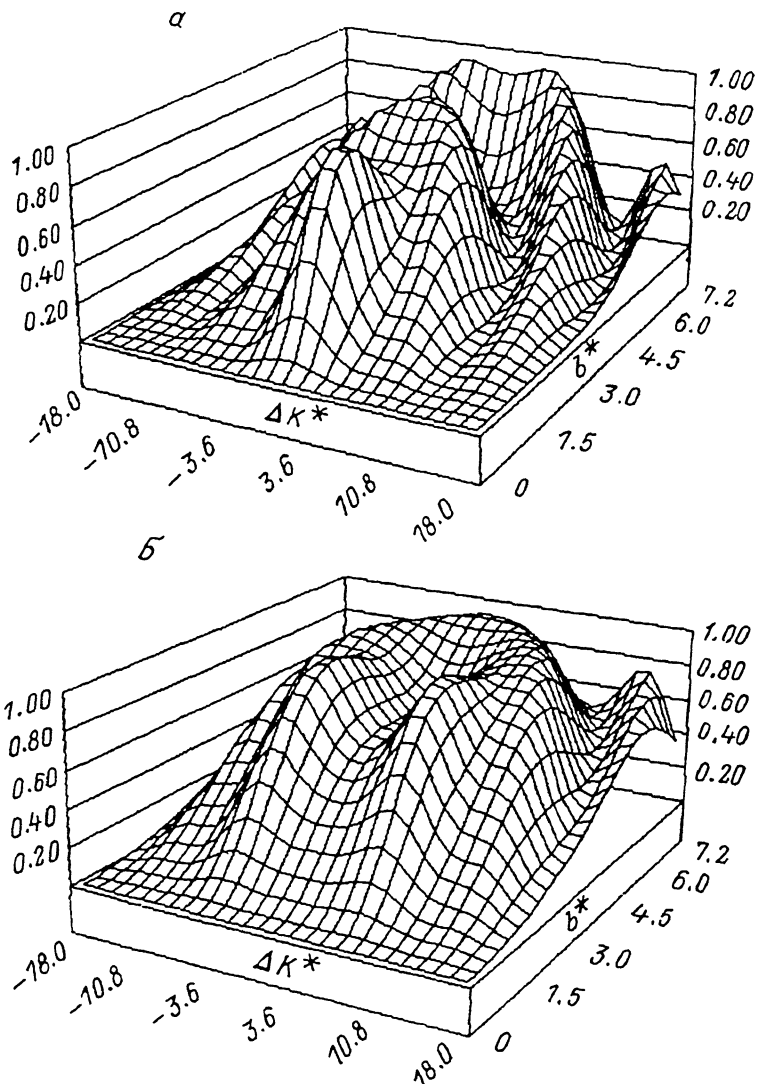


Рис. 6. Зависимость ПФ $|T_1|^2$ от фазовой расстройки ΔK^* при различных значениях параметров b^* , t^* в условиях компенсации наведенной фазовой расстройки в центре области АЭОВ.

*t**: а — 2.5, б — 4.

В условиях поперечной и смешанной неоднородностей E_e отмеченные закономерности преобразования ПФ T_1 из-за уменьшения t^* (см. (28)) выражены менее сильно. Кроме этого, отметим, что вследствие смещения ПФ $T_1(\Delta K^*)$ при изменении s^* и зависимости $\Delta K(sz)$ в (21) наблюдается изменение характера АЭОВ по поперечным сечениям взаимодействующих пучков E_0 и E_1 . Представление об этом дают зависимости $T_1(\Delta K^*)$, представленные на рис. 4—6, если параметру ΔK^* поставить в соответствие величину $s^*(z)$. Отсюда сразу следует, что в рассматриваемом режиме АЭОВ с ростом s наблюдается сужение области эффективного энергообмена по координате z . При большой апертуре поля E^0

функция $T_1(\Delta K(z))$ определяет распределение пространственного профиля $E_1(z)$ и его изменение в условиях сильного АЭОВ (рис. 4—6). В условиях высокой эффективности АЭОВ это приводит к искажениям амплитудной структуры прошедшего пучка E_0 , так как $|T_0(z)|^2 = 1 - |T_1(z)|^2$. Характерной особенностью этого процесса будет образование одного (рис. 6, а) или нескольких (рис. 6, б) локальных минимумов в распределении $E_0(z)$, ширина и положение которых изменяется соответственно при вариации мощности и частоты поля U . При $\text{grad}E_e=0$ эти эффекты сильного АЭОВ отсутствуют.

Список литературы

- [1] Балакий В. И., Парыгин В. И. // РиЭ. 1973. Т. 18. № 1. С. 115—123.
- [2] Psaltis D., Lee H., Sirat G. // Appl. Phys. Lett. 1985. Vol. 46. N 3. P. 215-217.
- [3] Lee H., Psaltis D. // Opt. Lett. 1987. Vol. 12. N 7. P. 459—461.
- [4] Scholtz A. V., Das P., Shklarsky Dan. // Proc. Soc. Photo-Opt. Instrum. Eng. 1986. Vol. 700. P. 160—166.
- [5] Белый В. Н., Пашкевич Г. Н., Севрук Б. Б. // Оптика анизотропных сред. Сб. МФТИ. М., 1987. С. 137—139.
- [6] Белый В. Н., Пашкевич Г. А., Ропот П. И., Шепелевич В. В. // Препринт Института физики АН БССР. № ИФ-550. Минск, 1989. 26 с.
- [7] Зильберман Г. Е., Купченко Л. Ф., Голтянская Г. Ф. // РиЭ. 1988. Т. 33. № 5. С. 933—938.
- [8] Семченко И. В., Ропот П. И. // ЖТФ. 1990. Т. 60. Вып. 7. С. 90—95.
- [9] Белый В. Н., Мащенко А. Г., Пашкевич А. Г. // Опт. и спектр. 1990. Т. 68. Вып. 1. С. 205—207.
- [10] Коваленко Е. С., Романов С. И. // Обработка сигналов и изображений оптическими методами. Межвуз. сб. науч. тр. ЛИАП. Л., 1987. Вып. 190. С. 144—151.
- [11] Волоцкий А. Е., Зайцев Б. Д., Нейман В. И. и др. // Акуст. журн. 1990. Т. 36. № 5. С. 840—846.
- [12] Шандаров С. М., Задорин А. С., Шарангович С. Н. Акустические и акустооптические свойства монокристаллов. Томск. 1987. 151 с.
- [13] Задорин А. С., Шарангович С. Н. // Изв. вузов. Радиофизика. 1990. Т. 33. № 2. С. 357—365.
- [14] Шарангович С. Н. // ЖТФ. 1991. Т. 61. Вып. 1. С. 104—110.
- [15] Дмитриев В. Г., Тарасов А. В. Прикладная нелинейная оптика. М.: Радио и связь, 1982. 352 с.
- [16] Сироткин Ю. И., Шаскольская М. П. Основы кристаллофизики. М.: Наука, 1979. 639 с.
- [17] Бейтмен Г., Эрдэйи А. Высшие трансцендентные функции. М.: Наука, 1973.

Томский институт автоматизированных
систем управления и радиоэлектроники

Поступило в Редакцию
25 февраля 1991 г.